

III-B 14 A Eを利用したコンクリート杭破損調査法の二次元標定法の適用

徳島大学大学院	学生員	山本清広
飛島建設技術研究所	正会員	森伸一郎
飛島建設技術研究所	正会員	塩谷智基
徳島大学工学部	正会員	藤井清司

1. はじめに

構造物が地震により被災するなどし何らかの破損が生じていると考えられる時、上部構造の健全性は外観から判断できるのに対し、下部構造の健全性を評価することは困難である。これまで、著者らは、破損した杭から発生すると考えられるA E（エコースティック・エミッション）を利用し破損位置の一次元推定法の可能性を検討している¹⁾。しかし、単数の導波棒では杭が複数存在する場合、いずれの杭から発生したA Eか特定できない。そこで、本研究では、2本の杭にそれぞれ破損部を設け、複数の導波棒を用いてA Eを検出し、二次元的な破損位置の推定を試みる。

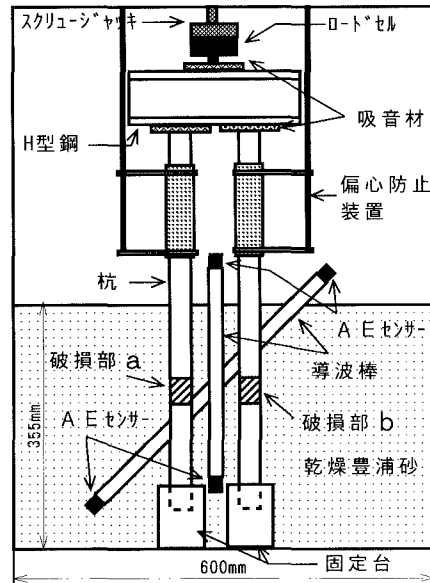
2. 実験方法

実験の概要を図-1に示す。長さ×高さ×奥行き=600×400×600mmの実験箱の中に、乾燥豊浦標準砂（土粒子比重G s=2.64、均等係数Uc=1.33、平均粒径D₅₀=0.21mm）を用い空中落下法により全砂層厚355mmまで地盤を作成する。模型杭は、破損部モデルとして荷重の増加により破損部から再現性のあるA E波を発することが可能な、火山性軽石（ハロミス）をシリコングムで固め作成し、アルミニウム棒（φ=30mm）を上部と下部に接着する。実験は、破損部高さが同じ場合と異なる場合の2種類行う。A Eは、両端にA Eセンサー（共振周波数 60kHz）を取り付けた導波棒（アルミニウム φ=20mm）を鉛直および鉛直より45°に各1本設置し計測する。

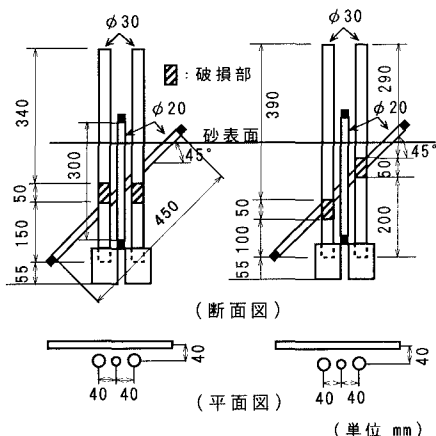
実験は、鉛直方向に強制変位を与える変位制御で行い、破損部より発生するA Eを検出する。A E源の位置標定は、それぞれの導波棒に取り付けたA Eセンサーへの到達時間差より求め、これらの標定結果を重ね合わせ二次元的な破損位置の推定を行う。

3. 実験結果および考察

3. 1 A E発生と杭破壊の関係 図-2は、横軸は載荷時間、縦軸は載荷荷重および鉛直に設置した導波棒下端を原点としたA Eの標定位置をA Eイベントにより表している。同図より、区間①では荷重の増加により、A Eが少数認められる。その後、荷重増加が緩やかとなる区間②において、破損部モード



(a) 実験装置



(b) 模型杭と導波棒の位置関係

図-1 実験概要図

ルであるパミの粒子破碎による塑性化が進行し、破損部からのAEイベントが増加する。区間③では、AEはさらに頻発し、荷重は微増する。

3.2 AE頻度分布による破損位置の評価 図-3は、破損部が同高さの場合の位置標定結果をリグダウカウトで示している。横軸は導波棒の各区間に発生したリグダウカウトの累積頻度、縦軸は導波棒下端を原点としたAEの標定位置を表している。ここで、同図は破損部が同高さであるため、鉛直に配した導波棒に対する位置標定結果のみでは、いずれの杭の破損部より検出したAEか判断できない。一方、斜に配した導波棒による位置標定結果から、累積リグダウカウトのピーカーは2箇所あり、いずれも破損部位置と合致している。また、破損部以外の上部や下部の杭にもAEは認められるが、これらは破損部のAEと比べて小さい。

図-4は、より明確に二次元位置標定法の妥当性を検討するために行なった、破損部高さが異なる場合の位置標定結果をリグダウカウトで示している。横軸は導波棒の各区間に生じたリグダウカウトの累積頻度、縦軸は導波棒の長さを表している。同図の鉛直に配した導波棒における位置標定結果では、AEは破損部内に集中している。また、斜に配した導波棒の位置標定結果より、累積リグダウカウトは2本の杭それぞれの破損部位置をより明確に分離している。破損部高さが異なる場合、斜に配した導波棒上において、破損部aとbの間隔が、破損部が同高さの場合よりも広いため、破損部を明確に分離できたものと思われる。

4. 結論

AEを利用した杭の破損位置推定が、二次元的に可能か検討するため、室内実験を実施した。以下に得られた結論を示す。

- ①破損部モデルの破壊にともない、AEは頻発し、その発生源は標定可能である。
- ②複数の杭が破損している場合や、単数の導波棒で破損杭を特定できない場合、複数の導波棒を異なる角度で設置すれば破損部を二次元的に推定することが可能である。

【参考文献】

- 1)森伸一郎、宇良成泰、塩谷智基、藤井清司：AEを利用したコンクリート杭の破損調査法、第30回土質工学研究発表会、pp.1581-1582、1995

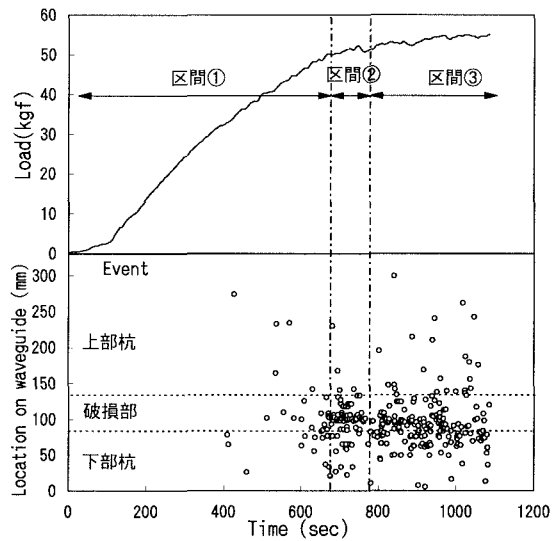


図-2 荷重・位置標定の経時変化

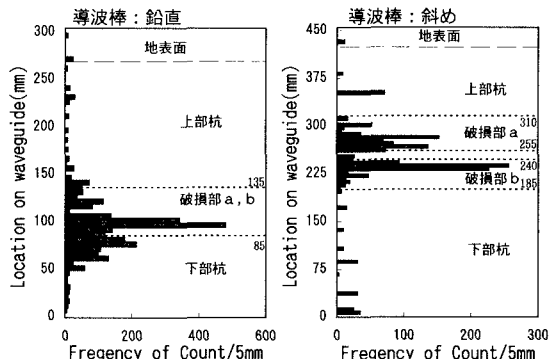


図-3 破損部高さが同じ場合の頻度分布

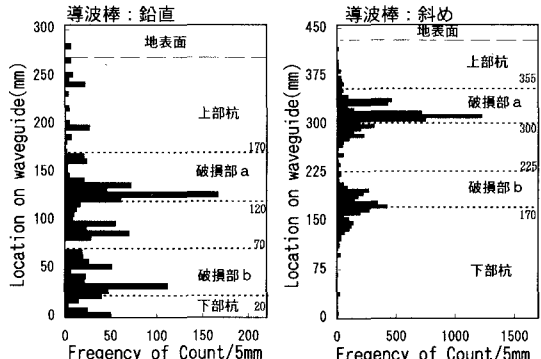


図-4 破損部高さが異なる場合の頻度分布